

شبیه سازی عددی احتراق مخلوط هیدروژن- هوا در محفظه های میکرونی

سید محمود ابوالحسن علوفی^۱

مشهد، دانشگاه آزاد اسلامی، دانشکده مهندسی، قاسم آباد، خیابان استاد یوسفی
m_a_alavi2002@yahoo.com

چکیده

در این مقاله، شبیه سازی عددی احتراق مخلوط هیدروژن- هوا در محفظه های میکرونی در دو اندازه مختلف صورت گرفته است. مدل احتراق مخلوط شامل 19 واکنش ساده برگشت پذیر و 9 گونه شیمیایی می باشد. احتراق در محفظه های میکرونی تحت شرایط جداره بی درو صورت گرفته که این شرایط تاثیرات شدیدی بر احتراق دارند، بویژه زمانی که اندازه محفظه کوچکتر شده و نسبت مساحت سطح به حجم بیشتر می شود. مقادیر محاسبه شده شامل دمای محصولات احتراق، توزیع سرعت تولید آب، توزیع سرعت تبدیل هیدروژن و غلظت جرمی هیدروژن می باشد که همگی بطور موضعی در امتداد طولی محفظه بدست آمدہاند. دو عامل اتفاف گرما از طریق جداره و اندازه کوچکتر محفظه، ممکن است به اطفاء اشتعال منجر شود. نتایج شبیه سازی نشان می دهند که احتراق پایدار در محفظه از طریق افزایش نسبت زمان اقامت واکنش کننده در محفظه به زمان واکنش شیمیایی وهمچنین حفظ شرایط جداره بی دررو تضمین می گردد و بایستی اندازه محفظه احتراق در مقایسه با ضخامت شعله بی درو به اندازه کافی بزرگ باشد. زمان اقامت ناکافی در محفظه احتراق میکرونی ممکن است به احتراق ناقص بیانجامد و بازده احتراق را پایین ببرد. همچنین ممکن است باعث تولید گرمای ناکافی برای حفظ احتراق فراروند شود و در ادامه باعث اطفاء گردد. روش مدل سازی عددی ارائه شده در این مقاله در طراحی و بهینه سازی ابزار تولید برق کوچک حرارتی مفید است. نتایج حاصل از این مطالعه با نتایج ارائه شده توسط محققان دیگر مقایسه شدهاند و تطابق خوبی مابین آنها مشاهده می شود.

واژه های کلیدی: شبیه سازی- احتراق- هیدروژن- محفظه میکرونی

- ۱- مقدمه

با افزایش تقاضاها برای ابزارهای بسیار کوچک مثل فعال کننده های بسیار بیز، حسگرهای روباتها و غیره نیاز برای منبع نیروی بسیار کوچک دارای تراکم انرژی بالا را افزایش می دهد. باتریهایی که امروزه استفاده می شوند 0/6 kJ/g برای یک باتری آلکالین و 1/2 kJ/g برای یک باتری لیتیوم در مقایسه با سوختهای هیدروژنی (140 kJ/g) و هیدروکربنی انرژی خالص کاملاً پایینی دارند. توسعه ابزارهای تولید برق مبتنی بر احتراق در محفظه های میکرونی، باعث افزایش عمر و کاهش وزن سیستمهای الکترونیکی- مکانیکی که برای تأمین انرژی از باتری استفاده می کنند، خواهد شد. پیشرفتهای اخیر در زمینه روش های ساخت

^۱ - عضو هیات علمی

سیلیکون با بافت ریز امکان ساخت موتورهای حرارتی کوچک برای تولید برق را فراهم نموده است. محفظه احتراق با ابعاد ریز یکی از اجزای اصلی برای سیستم تولید برق کوچک که از سوختهای هیدروژنی و هیدرورکربنی بعنوان منبع انرژی استفاده می‌کند، می‌باشد. طراحی انواع متعدد محفظه احتراق اکنون در دست پیشرفت هستند. کارهای آزمایشی گذشته بیان می‌کردند که انتشار شعله‌ها در شکاف کوچک در مقیاس تقریباً میلیمتری، که بعنوان فاصله اطفاء شناخته می‌شود، غیرممکن است. لکن امروزه احتمال اشتعال در این محفظه‌ها بوسیله آزمایشها ثابت شده‌اند. درک اساسی مکانیسم احتراق در محفظه‌های میکرونی، که برای طراحی و بهینه سازی ابزارهای برقی بسیار ضروری است، بدليل مشکل اندازه‌گیری در محفظه‌های میکرونی در آزمایشگاه به خوبی احساس نمی‌شود. شبیه سازی عددی می‌تواند روش مناسبی برای بررسی مکانیسم احتراق باشد. نورتون (Norton) و ولاکوس (Vlachos) [1] مطالعه عددی در زمینه مشخصه‌های احتراق و پایداری شعله برای مخلوط متان-هوا انجام را دادند. آنها [2] در مقاله دیگری این بررسی را روی مخلوط پروپان-هوا انجام دادند. چوی (Choi) و همکاران [3] شبیه سازی عددی انتشار شعله هیدروژن-هوا نزدیک شرایط اطفاء در محفظه احتراق میکرونی را انجام دادند. کارلیوس (Carios) [4] تولید قدرت میکرو را با بکارگیری محفظه‌های احتراق میکرونی انجام داد. اسپاداکسینی (Spadaccini) و همکاران [5] توزیع دما در محفظه احتراق همراه با هندسه‌های ورودی متفاوت را با استفاده از شبیه سازی عددی سه بعدی که انرژی جنبشی شیمیایی را با 19 واکنش هیدروژن-هوا و 9 گونه شیمیایی حساب می‌کند، بررسی کرد. جین سونگ (Jinsong) و همکاران [6] شبیه سازی عددی را برای مطالعه احتراق هیدروژن-هوا تئوری در تعدادی از محفظه‌های استوانه‌ای ریز را انجام داد. مدل واکنش از 19 واکنش ابتدایی برگشت پذیر و 9 گونه تشکیل می‌شد. لی (Li) و همکاران [7] اثرات تغییرات قطر محفظه احتراق میکرونی را که دهانه‌ای با قطر ثابت دارد، روی انتشار شعله و دمای خارجی دیواره محفظه بررسی کردند. آنها [8] در مقاله دیگری اثر تغییرات قطر محفظه احتراق میکرونی را بدون دهانه بررسی کردند. نتایج آنها روی محاسبه پروفیل‌های عرضی سرعت و دما، کسر جرمی گونه‌های شیمیایی، تلفات حرارتی در طول محور محفظه و تنش برشی روی دیواره بود. و بالاخره چن (chen) [9] و همکاران اثرات پارامترهای عملکردی مختلف را روی مشخصه‌های احتراق هیدروژن-هوا داخل لوله میکرونی پلاتینیوم بكمک شبیه سازی عددی انجام دادند.

2- معادلات حاکم و روش حل

معادلات حاکم بر شعله و جریان در سیستم مختصات استوانه‌ای (r, θ, z) نوشته شده است. محور x در امتداد طولی محفظه احتراق روی خط مرکزی انتخاب شده که موقعیت $0 = x$ آن در دهانه ورود به محفظه و در جهت جریان مثبت است. مولفه‌های سرعت u و v بترتیب در جهات x و r می‌باشند. فرضیات زیر برای شعله و جریان بکار رفته است. (الف) از تشعشع گازها صرفنظر می‌شود. (ب) کار انجام شده بوسیله فشار و کار انجام شده بوسیله نیروهای لزجت درنظر گرفته نمی‌شود. (ج) تغییر انرژی جنبشی در منطقه شعله ناچیز است. (د) واکنش شیمیایی همگن داریم. (ه) رژیم جریان پایا می‌باشد. و از نیروهای جسمی مثل وزن صرفنظر می‌گردد. با فرضیات فوق معادلات حاکم بصورت زیر نوشته می‌شوند. معادله پیوستگی خواهد شد.

$$\frac{\partial(\rho u)}{\partial x} + \frac{1}{r} \frac{\partial(\rho vr)}{\partial r} = 0 \quad (1)$$

در اینجا ρ جرم مخصوص محصولات و r مختصات در جهت شعاع می‌باشد. معادله اندازه حرکت در جهت x خواهد شد.

$$\frac{\partial(\rho uu)}{\partial x} + \frac{1}{r} \frac{\partial(\rho uvr)}{\partial r} = -\frac{\partial P}{\partial x} + \frac{\partial}{\partial x} \left(\frac{4}{3} \mu \frac{\partial u}{\partial x} \right) + \frac{1}{r} \frac{\partial}{\partial r} \left(r\mu \frac{\partial u}{\partial r} \right) - \frac{\partial}{\partial x} \left(\frac{2\mu}{3r} \frac{\partial(vr)}{\partial r} \right) + \frac{1}{r} \frac{\partial}{\partial r} \left(r\mu \frac{\partial v}{\partial x} \right) \quad (2)$$

در اینجا P لزجت دینامیک محصولات و P فشار می‌باشد. همچنین معادله اندازه حرکت در جهت r خواهد شد.

$$\frac{\partial(\rho uv)}{\partial x} + \frac{1}{r} \frac{\partial(\rho vvr)}{\partial r} = -\frac{\partial P}{\partial r} + \frac{\partial}{\partial x} \left(\mu \frac{\partial u}{\partial r} \right) - \frac{1}{r} \frac{\partial}{\partial r} \left(\frac{2r\mu}{3} \frac{\partial(u)}{\partial x} \right) + \frac{\partial}{\partial x} \left(\mu \frac{\partial v}{\partial x} \right) + \frac{1}{r} \frac{\partial}{\partial r} \left(\frac{4r\mu}{3} \frac{\partial v}{\partial r} \right) - \frac{1}{r} \frac{\partial}{\partial r} \left(\frac{2}{3} \mu v \right) \quad (3)$$

و با گرفتن توازن انرژی برای شعله، معادله انرژی خواهد شد.

$$\frac{\partial}{\partial x} (\rho uh) + \frac{1}{r} \frac{\partial}{\partial r} (\rho vhr) = \frac{\partial}{\partial x} \left(\frac{\partial T}{\partial x} \right) + \frac{1}{r} \frac{\partial}{\partial r} \left(k \frac{\partial T}{\partial r} r \right) + q \quad (4)$$

در اینجا انتالپی بر واحد جرم، T دمای شعله، k ضریب هدایت حرارتی محصولات و q شدت تولید گرما بر واحد حجم می‌باشد. انتالپی h بصورت ذیر تعریف می‌شود.

$$h = \sum_i m_i h_i \quad (5)$$

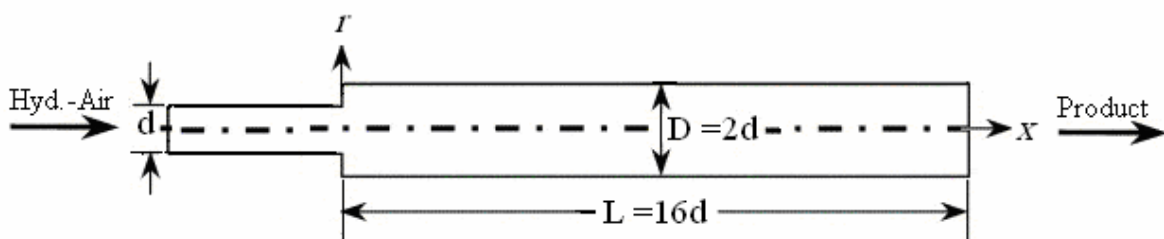
در اینجا h_i انتالپی برو واحد جرم گونه‌های شیمیایی i و m_i کسر جرمی گونه‌های شیمیایی i می‌باشد. برای هر گونه شیمیایی i توازن جرمی بصورت زیر نوشته می‌شود.

$$\frac{\partial(\rho um_i)}{\partial x} + \frac{1}{r} \frac{\partial(\rho vrm_i)}{\partial r} = \frac{\partial}{\partial x} \left(D_i \frac{\partial(\rho m_i)}{\partial x} \right) + \frac{1}{r} \frac{\partial}{\partial r} \left(D_i r \frac{\partial(\rho m_i)}{\partial r} \right) + \omega_i \quad (6)$$

در اینجا D_i پخش جرم گونه‌های i و ω_i شدت تولید جرم گونه‌های شیمیایی بر واحد حجم می‌باشد. با گرفتن توازن انرژی روی دیوار محصور کرده شعله خواهیم داشت.

3- مدل فیزیکی و شرایط مرزی

مدل فیزیکی دوبعدی محفظه احتراق میکرونی که به صورت استوانه مدور می‌باشد، در شکل (1) نشان داده شده است. تاثیرات ابعاد محفظه بر مشخصه‌های احتراق برای دو محفظه استوانه‌ای میکرونی بررسی می‌شود. قطر دهانه d از $0/1$ تا $0/4$ میلیمتر تغییر می‌کند. نسبت قطر محفظه D به قطر دهانه d برابر 2 و نسبت طول محفظه L به قطر دهانه d معادل 16 درنظر گرفته شده است. مخلوط تئوری هیدروژن- هوا با نسبت هوا به سوخت برابر 2 از یک طرف (دهانه) به محفظه احتراق میکرونی تزریق می‌شود.



شکل 1- مدل فیزیکی دوبعدی محفظه احتراق میکرونی به صورت استوانه مدور

طول مشخصه محفظه احتراق میکرونی، یعنی مسیر جریان گاز در حال واکنش، هنوز هم بقدر کافی بزرگتر از مسیر متوسط مولکولی پویش آزاد (فاصله میانگین بین دو برخورد متوالی مولکولی) هوا و دیگر گازهای جاری در محفظه احتراق است. لذا پیوستگی سیال حفظ شده و معادلات ناویر- استوکس برای محدوده سیال حل خواهد شد. از نرم افزار Fluent برای انجام شبیه سازیهای عددی جریان سیال در محفظه احتراق بوسیله حل معادلات پیوستگی جرم، اندازه حرکت و انرژی استفاده می‌شود. چگالی سیال با استفاده از قانون گاز کامل محاسبه می‌شود. همگرایی شبیه سازی CFD بر

مبنای باقیمانده های تمام معادلات تعیین کننده برآورد می شود. نتایج گزارش شده در این مطالعه وقتی بدست می آیند که باقیمانده ها کوچکتر از 10^{-6} باشند.

دمای جریان آزاد مخلوط هیدروژن- هوا در ورود به دهانه برابر K 300 است. طول دهانه ورود به محفظه احتراق میکرونى، بسته به عدد رینولدز، به اندازه اى در نظر گرفته شده تا جریان بصورت توسعه یافته وارد محفظه شود. سرعت متوسط جریان توسعه یافته مخلوط سوخت و هوا در دهانه، برابر 6 m/s درنظر گرفته شده است. عدد رینولدز جریان سیال در دهانه برای قطر $0/4 \text{ mm}$ برابر 168 و برای قطر $0/1 \text{ mm}$ معادل 42 خواهد شد، لذا جریان آرام خواهد بود. در یکی از آزمایشها عددی سرعتهای بیشتر از 6 m/s نیز بررسی می شود. بدینهی است مخلوط سوخت و هوا در بدو ورود به محفظه با یک انساط ناگهانی روپرست. قطر محفظه احتراق دو برابر قطر دهانه مخلوط سوخت- هوا می باشد. بنابراین، مساحت مقطع عرضی محفظه احتراق در حدود چهار برابر مساحت دهانه و سرعت میانگین مخلوط گاز در مقطع عرضی محفظه قبل از اینکه سوخته شود در حدود $1/5 \text{ m/s}$ خواهد بود. وقتی سرعت میانگین مخلوط گاز $1/5 \text{ m/s}$ پایین تر از سرعت شعله حدود $2/0 \text{ m/s}$ باشد، به پایداری شعله در محفظه احتراق کمک خواهد کرد. شرایط مرزی محور تقارن در طول محور مرکزی محفظه احتراق اعمال می شوند. در مرز خروجی، فشار ثابت 100 kPa اعمال می گردد. در جداره محفظه، شرایط فاقد لغزش و فاقد شار حرارتی برای سطح جداره اعمال می شود. به منظور مطالعه تاثیر ابعاد و اندازه های محفظه بر احتراق، در عین حالیکه نسبتهاي هندسى محفظه احتراق در تمام شبیه سازیها بطور یکسان حفظ می شود، قطر دهانه محفظه کم می گردد. این تغییرات اندازه محفظه، همراه با بی دررو بودن جداره محفظه احتراق، بر روی مشخصه های احتراق بوسیله شبیه سازی عددی تحقیق گردید و نتیجه گرفته شد که احتراق پایدار در محفظه میکرونى از طریق موازن زمان سکونت جریان و زمان واکنش شیمیایی و بهینه سازی شرایط بی دررو قابل دستیابی است. چون زمان سکونت در محفظه میکرونى کوتاه خواهد شد، کوتاه کردن زمان واکنش شیمیایی به منظور تضمین تکمیل فرآیند احتراق نیز مهم است. بر طبق نظریه سینتیک شیمیایی، یکی از اندازه گیری های احتمالی برای کوتاه کردن زمان واکنش شیمیایی افزایش سرعت واکنش بوسیله تضمین دمای واکنش بالا می باشد. این در عوض بوسیله کاهش اتلاف گرما از محفظه احتراق و عایقکاری آن قابل دستیابی است.

4- واکنش های احتراق

مراحل واکنش احتراق هیدروژن و اکسیژن طبق ذیل لیست می شود. مدل از 19 واکنش مقدماتی برگشت پذیر به شرح ذیل و 9 گونه شیمیایی H_2 ، O_2 ، H_2O_2 ، OH ، H_2O ، O_2 ، H ، HO_2 ، N_2 تشکیل می شود.

1. $\text{O}_2 + \text{H} = \text{OH} + \text{O}$
2. $\text{H}_2 + \text{O} = \text{OH} + \text{H}$
3. $\text{H}_2 + \text{OH} = \text{H}_2\text{O} + \text{H}$
4. $\text{OH} + \text{OH} = \text{H}_2\text{O} + \text{O}$
5. $\text{H}_2 + \text{O}_2 = \text{OH} + \text{OH}$
6. $\text{H} + \text{OH} + \text{M} = \text{H}_2\text{O} + \text{M}_b$
7. $\text{O}_2 + \text{M} = \text{O} + \text{O} + \text{M}$
8. $\text{H}_2 + \text{M} = \text{H} + \text{H} + \text{M}_c$
9. $\text{H} + \text{O}_2 + \text{M} = \text{HO}_2 + \text{M}_d$
10. $\text{H} + \text{O}_2 + \text{O}_2 = \text{HO}_2 + \text{O}_2$
11. $\text{H} + \text{O}_2 + \text{N}_2 = \text{HO}_2 + \text{N}_2$
12. $\text{HO}_2 + \text{H} = \text{H}_2 + \text{O}_2$

13. $\text{HO}_2 + \text{H} = \text{OH} + \text{OH}$
14. $\text{HO}_2 + \text{O} = \text{OH} + \text{O}_2$
15. $\text{HO}_2 + \text{OH} = \text{H}_2\text{O} + \text{O}_2$
16. $\text{HO}_2 + \text{HO}_2 = \text{H}_2\text{O}_2 + \text{O}_2$
17. $\text{H}_2\text{O}_2 + \text{M} = \text{OH} + \text{OH} + \text{M}$
18. $\text{H}_2\text{O}_2 + \text{H} = \text{H}_2 + \text{HO}_2$
19. $\text{H}_2\text{O}_2 + \text{OH} = \text{H}_2\text{O} + \text{HO}_2$

مدل احتراق بوسیله شبیه سازی احتراق هیدروژن- هوای تحت شرایط بی دررو و مقایسه با اندازه‌گیری شعله بی دررو گزارش شده در مرجع [10] (Glassman) معتبر می‌شود.

دمای شعله و کسر مولی گونه‌های شیمیایی بدست آمده از پیش‌بینی مدل عددی این مقاله به همراه نتایج آزمایشی مرجع [10] در جدول (1) درج شده‌اند. پیش‌بینی های عددی در مطابقت قابل قبولی با داده‌های آزمایشی هستند.

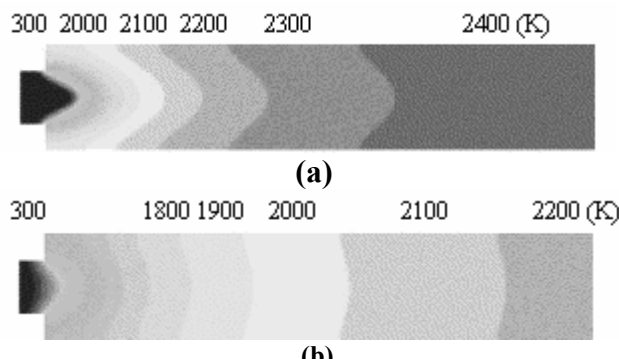
اگرچه پارامترهای نمونه احتراق بکار رفته در این مطالعه از آزمایش‌های محفظه‌های احتراق بزرگ حاصل می‌شوند، اما گمان می‌رود که آن پارامترها در سطح میکرونی بر طبق اصولی که واکنش شیمیایی بر مبنای فعل و انفعالات مولکولهای واکنش دهنده است، معتبر هستند.

جدول 1- مقایسه دمای شعله بی درو T_b و کسر مولی گونه‌های شیمیایی در مخلوط تئوری هیدروژن- هوای در شبیه سازی و آزمایش

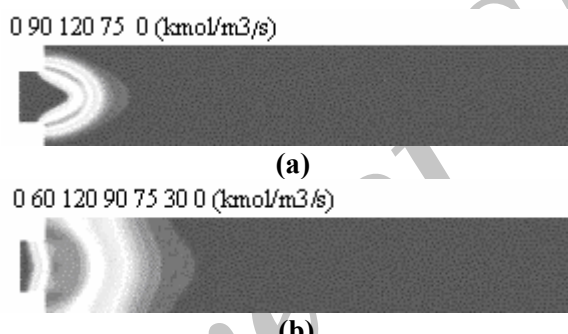
دما / غلظت	نتایج آزمایش [10]	نتایج عددی
Tb [K]	2382	2397
H ₂ O	0/323	0/311
O ₂	0/005	0/009
H ₂	0/015	0/02
OH	0/007	0/01
H	0/002	0/004
O	0/001	0/0014
NO	0/003	-
N ₂	0/644	0/644

5- احتراق در محفظه‌های میکرونی تحت شرایط جداره بی درو

شکل (2) نواحی هم‌دما در محفظه احتراق را برای قطرهای مختلف 0/1 mm و 0/4 mm دهانه تحت شرایط بی دروی جداره نشان می‌دهد. همچنین نواحی هم سرعت تولید آب، که شاخص سرعت واکنش شیمیایی جهانی محسوب می‌شود، در شکل (3) نشان داده شده است. در این شکلها، موقعیت نسبی ناحیه احتراق و توزیع ویژگی فیزیکی در دو محفظه احتراق مختلف به آسانی قابل مقایسه هستند. از شکل‌های (2) و (3) می‌توان ملاحظه کرد که احتراق می‌تواند در محفظه احتراق میکرونی با توجه به جداره بی درو فراروند باشد. دمای گاز بدلیل گرمای آزاد شده از احتراق به طرز چشمگیری بالا می‌رود. بالاترین دما در خروجی محفظه احتراق در دامنه 2400K-2000 بdest می‌آید. دمای شعله برای محفظه احتراق بزرگتر که تقریباً معادل دمای شعله بی دروی احتراق مخلوط تئوری هیدروژن- هوای است 2400K می‌باشد. همانطور که اندازه محفظه احتراق کاهش می‌یابد، دمای خروجی محصول اشتعال نیز کاهش می‌یابد. با این وجود، همانطور که اندازه محفظه احتراق کاهش می‌یابد، نسبت ناحیه اشتعال به حجم محفظه به طرز چشمگیری همانطور که در شکل (2) نشان داده می‌شود، افزایش می‌یابد.

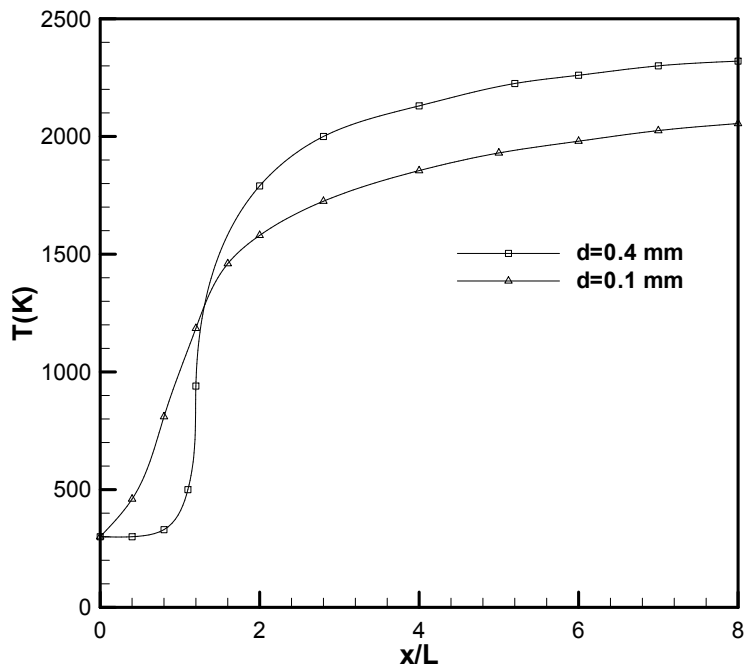


شکل 2- نواحی همدما (K) در مقطع عرضی و در طول محفظه احتراق میکرونی تحت شرایط جداره بی درو با قطر دهانه ورودی: 0/1 mm (b) : 0/4 mm (a)

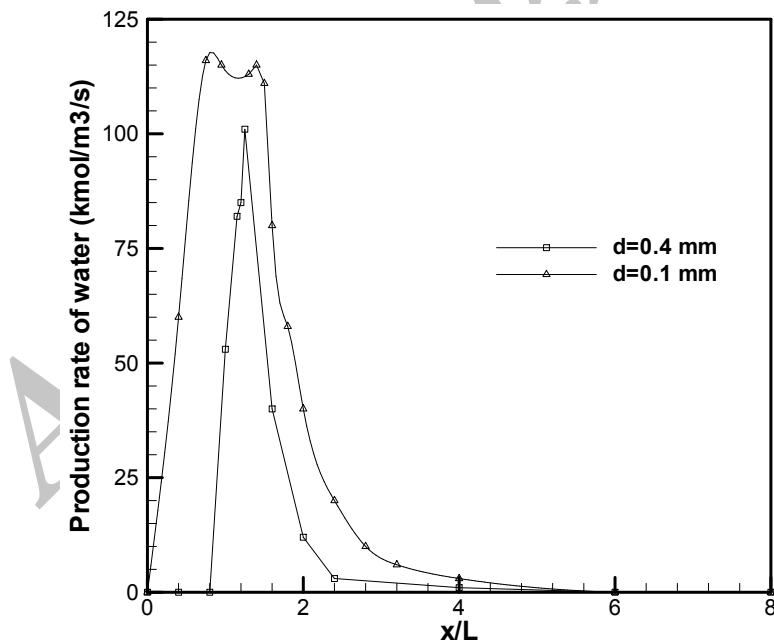


شکل 3- نواحی هم سرعت تولید آب [kmol/m³/s] در مقطع عرضی و در طول محفظه احتراق میکرونی تحت شرایط جداره بی درو با قطر دهانه ورودی: 0/1 mm (b) : 0/4 mm (a)

شکلهای (4) و (5) و (6) دمای گاز، سرعت تولید آب و توزیع سرعت تبدیل هیدروژن در طول محور مرکزی محفظه را نشان می‌دهند. در اینجا، سرعت تبدیل هیدروژن بصورت $[H_2]_{initial} / [H_2]$ (تریف می‌شود و فاصله محوری بدون بعد بصورت نسبت فاصله محوری به قطر دهانه تعریف می‌شود. وقتی بعد محفظه به اندازه کافی بزرگ باشد، مخلوط گاز زمان اقامت کافی در محفظه را دارد بطوریکه احتراق قبل از اینکه از محفظه احتراق خارج شود، کامل خواهد شد. با احتراق کامل در محفظه بزرگتر، محصولات تقریباً در دمای شعله بی درو K 2400 همانطور که در شکل (4) نشان داده می‌شود از محفظه احتراق خارج می‌شوند. با این وجود، وقتی اندازه محفظه احتراق کاهش می‌یابد، مکانیسم واکنش شیمیایی مشابه نگه داشته می‌شود. ممکن است ناحیه واکنش، بیشتر فضای محفظه احتراق کوچک را اشغال کند. از این رو، از شکل (5) قابل مشاهده است که اوج سرعت تولید آب وقتی اندازه محفظه کاهش می‌یابد گستردگر تر می‌شود. وانگهی شکل (4) نشان می‌دهد، در محفظه کوچکتر بدلیل احتراق ناقص دمای محصولات احتراق کاهش می‌یابد.



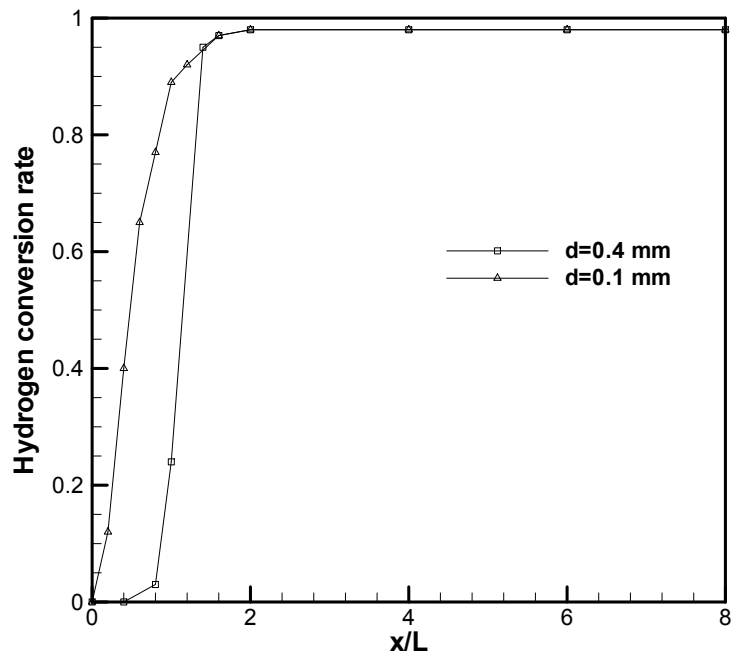
شکل 4- توزیع دمای محصولات احتراق بر حسب طول محفظه میکرونی
با دو قطر مختلف و تحت شرایط جداره بی درو



شکل 5- توزیع سرعت تولید آب [kmol/m³/s] بر حسب طول محفظه میکرونی
با دو قطر مختلف و تحت شرایط جداره بی درو

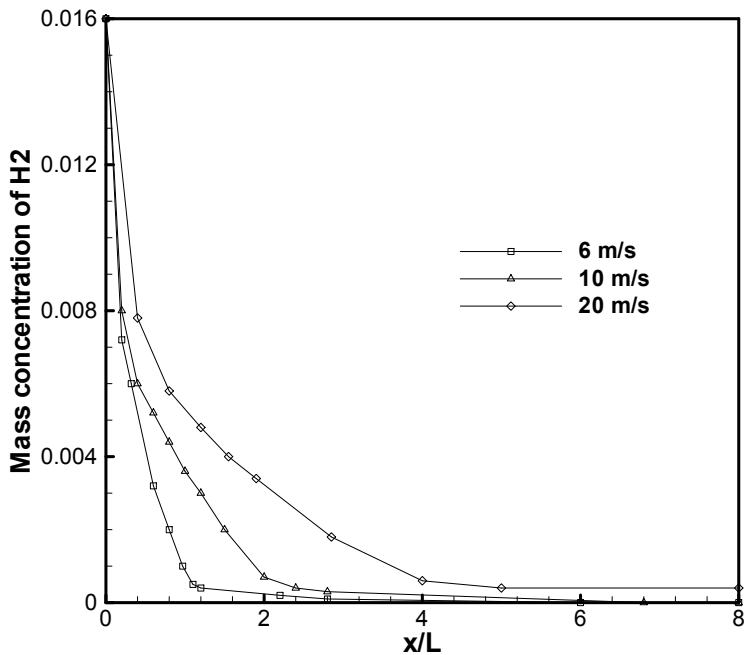
شکل (6) سرعت تبدیل هیدروژن را نشان می‌دهد که در ابتدای محفظه کم و سریعاً در ربع محفظه به ماکریم می‌رسد و تا آخر محفظه این ماکریم ادامه دارد. در محفظه احتراق کوچکتر نزدیک به دهانه، سرعت تبدیل بالاتر است، اما نزدیک خروجی

سرعت تبدیل هر دو محفظه یکی است و لذا هیدروژن در خروجی محفظه نهایی برای هر دو محفظه احتراق تقریباً بطور کامل تمام می‌شود. این ممکن است برای هیدروژن بدليل مدل سازی چند واکنش مقدماتی باشد که بوسیله فعل و انفعال با هوا قبل از تشکیل آب (محصول نهایی) به چند گونه میانی دیگر تبدیل می‌شود. از این رو، سرعت تولید آب، شاخص بهتری برای نشان دادن تکمیل واکنشهای شیمیایی می‌باشد. از شکل های (3) و (5) می‌توان ملاحظه کرد که وقتی بعد محفظه کاهش می‌یابد حداکثر سرعت تولید آب در همان سطح حفظ می‌شود، بدین معنی که سرعت واکنش شیمیایی هنگام کاهش اندازه محفظه احتراق به طرز چشمگیری تغییر نمی‌کند.



شکل 6- توزیع سرعت تبدیل هیدروژن بر جسب طول محفظه میکرونی
با دو قطر مختلف و تحت شرایط جداره بی درو

نتایج شبیه سازی تحت شرایط جداره بی در رو نشان می‌دهند که کاهش اندازه محفظه احتراق تأثیر چشمگیری بر سرعت کلی واکنش شیمیایی (سرعت تولید آب) در محفظه ندارد. اما کاهش اندازه محفظه احتراق ممکن است بازده احتراق را محدود کند. این بدليل حقیقتی است که محلوط سوخت - هوا زمان اقامت کافی برای تمام کردن کامل واکنش شیمیایی در محفظه‌های کوچک تر را ندارد. از این رو، برای بدست آوردن احتراق پایدار در محفظه کوچک، بُعد محفظه باید بیشتر از ضخامت شعله بی دررو باشد. ضخامت شعله بی دررو (ناحیه واکنش) بدست آمده از این شبیه سازی در حدود 0.5 mm برآورد می‌شود. شکل (7) غلظت هیدروژن در طول دیواره محفظه برای سرعتهای مختلف ورود سوخت- هوا به داخل دهانه ورودی را نشان می‌دهد. در کلیه آزمایشات عددی در این مقاله نسبت هوا به سوخت تئوری بوده و سرعت جريان سوخت در دهانه هم به غیر از مورد اخير ثابت بوده است. بنابراین در اين مرحله تاثیر سرعت سوخت روی عملکرد محفظه احتراق میکرونی بررسی شده است. همانطور که در شکل مشاهده می‌شود، با افزایش سرعت سوخت و کاهش زمان اقامت سوخت داخل محفظه، غلظت هیدروژن بیشتر شده و به سمت پائین دست جريان توسعه می‌یابد.



شکل 7- غلظت هیدروژن بر جسب طول محفظه میکرونی
برای سرعتهای مختلف سوخت-هوا و $d=0.2 \text{ mm}$

6- نتایج

در این مقاله، شبیه سازی عددی احتراق مخلوط هیدروژن-هوا در محفظه های میکرونی در دو اندازه مختلف صورت گرفته است. قطردهانه محفظه با اندازه های $0/4 \text{ mm}$ و $0/1 \text{ mm}$ بوده و دیواره جداره بی درو می باشد.

از نظر علمی، احتراق پایدار در محفظه احتراق فقط زمانی می تواند روی دهد که زمان اقامت واکنش دهنده بیشتر از زمان واکنش شیمیایی است. در مورد احتراق در محفظه های احتراق بزرگ سنتی، زمان اقامت برای واکنش دهنده در محفظه احتراق همیشه برای احتراق کامل به اندازه کافی بزرگ است. کاهش بُعد محفظه احتراق باعث کاهش چشمگیر در زمان اقامت می شود چون سرعت جریان واکنش دهنده نمی تواند متناسب با آن کم شود. پیامد مستقیم زمان اقامت ناکافی در محفظه احتراق میکرونی ممکن است که به احتراق ناقص در محفظه انجامیده و موجب کاهش بازده احتراق گردد. بازده پایین تر احتراق ممکن است باعث تولید گرمایی ناکافی برای حفظ احتراق فراروند شود و در ادامه باعث اطفاء شود. شبیه سازی عددی احتراق هیدروژن-هوا در محفظه میکرونی با شرایط جداره بی درو اثبات می کند که احتراق ممکن است تنها هنگامی پایدار باشد که اندازه محفظه احتراق در مقایسه با ضخامت شعله بی درو به اندازه کافی بزرگ باشد. ضخامت شعله بی دررو (ناحیه واکنش) بدست آمده از این شبیه سازی با ضخامت شعله بی درو به اندازه کافی بزرگ است. از طرفی تحت شرایط جداره بی دررو، کاهش اندازه محفظه احتراق تأثیر چشمگیری بر سرعت در حدود $0/5 \text{ mm}$ برآورد می شود. همچنین با افزایش سرعت سوخت و کاهش زمان اقامت سوخت داخل محفظه، غلظت هیدروژن بیشتر شده و به سمت پائین دست جریان توسعه می یابد.

در نتیجه مدل عددی قادر است معادلات احتراق میکرونی را حل کرده و پدیده و مکانیسم اطفاء در احتراق میکرونی را مورد بحث و بررسی قرار دهد. احتراق پایدار در محفظه احتراق میکرونی بوسیله بهینه سازی سیستم هندسه محفظه احتراق، شرایط

گرمایی و فعل وانفعال دینامیک سیال قابل حصول بوده و در طراحی و بهینه سازی ابزار تولید برق کوچک حرارتی مفید است. نتایج حاصل از این مطالعه با نتایج ارائه شده توسط محققان دیگر مقایسه شده‌اند و تطابق خوبی مابین آنها مشاهده می‌شود.

مراجع

- 1- Norton, D.G., and Vlachos, D.G., "Combustion characteristics and flame stability at the microscale: a CFD study of premixed methane/air mixtures," *Chemical Engineering Science*, Vol. 58, pp. 4871–4882, 2003.
- 2- Norton, D.G., and Vlachos, D.G., "A CFD study for propane/air microflame stability," *Combust. Flame*, Vol. 138, pp. 97–107, 2004.
- 3- Choi, K.H., Na, H.B., Lee, D.H., and Kwon, s., "Numerical simulation of flame propagation near extinction condition in a micro-combustor," *Microscale Thermophysical Engineering*, Vol. 8, pp. 71–89, 2004.
- 4- Carlos, F.A., "Micro-power generation using combustion: issues and approaches. Twenty-Ninth International Symposium on Combustion," Sapporo, Japan, the Combustion Institute, pp. 1–45, 2002.
- 5- Spadaccini, C.M., Mehra, A., Lee, J., Zhang, X., Lukachko, S., and Waitz, A.I., "High power density silicon combustion systems for micro gas turbine engines," *Journal of Engineering for Gas Turbines and Power*, Vol. 125, pp. 709–719, 2003.
- 6- Jinson, H., Meng, W., and Kurichi, K., "Numerical simulation of the combustion of hydrogen-air mixture in micro-scaled chambers. Part I: Fundamental study," Institute of High Performance Computing in Singapore, 2005.
- 7- Li, Z.W., Chou, S.K., Shu, C., and Yang, W.M., "Effects of step height on wall temperature of a microcombustor," *J. of micromechanics and microengineering*, Vol. 15, pp. 207-212, 2005.
- 8- Li, Z.W., Chou, S.K., Shu, C., Xue, H., and Yang, W.M., "Characteristics of premixed flame in microcombustors with different diameters," *Applied Thermal Engineering*, Vol. 25, 271–281.
- 9- Chen1, G.B., Chao, Y.C., Chen2, C.P., Wu2, C.Y., "Numerical simulation of Hydrogen/Air combustion characteristics inside a platinum micro tube," Institute of aeronautics and astronautics, Nationl Cheng Kung university, Tainan, Taiwan
- 10- Glassman, L., *Combustion*, Academic Press, California, 1996.